

ドライ・ベッド上の急変不定流

東北大学工学部 学生員 山村明義
 東北大学工学部 正会員 首藤伸夫
 東北大学工学部 教授 松畠英夫

1. まえがき ガム破壊によるドライ・ベッド上の急変不定流について実験を行い、波先端部付近の抵抗係数と数値計算によるその流れの現象について若干の検討を行った。本研究の結果は津波の陸上進上問題と表裏一体をなしてい。

2. 実験方法 図-1に示す幅30cmの水路部が前面ガラス張りである鋼製矩形水路を用いて実験を行った。ゲートは引き揚げ式である。測定量はゲート下流0.3m毎に1mごとに設置された計6本の摺城線式波高計による時間波形、ゲート下流0.16mに設置された電磁流速計による流速の時間変化と6×2m/secによる波先端位置の16mm連続撮影である。水路底条件は横断方向に粒粗度を付けた場合とそうでない場合の2通りである。粒粗度は5×5×300mmの木製棧（棧高K=5mm）を5cm間隔（棧間隔S=5cm）で配置している。各々について、貯留水深hoを10~60cmまで8通り行った。

3. 結果および考察

3-1 波先端部の軌跡 図-2の白丸と黒丸印は波先端部の軌跡を示す。(A)は粒粗度がない場合で(B)はある場合である。図中の破線は各々の実験結果に最も適合するWhitham¹⁾の近似理論解を次式で示される。

$$\alpha = 2\sqrt{h_0}t - \frac{h_0}{g}(a_0/1823P^8 + 0.0173P^5 + 0.01287P^6 + 0.00807P^7 + 0.00893P^8 + 0.00291P^9 + 0.00167P^{10}) \quad \text{--- (1)}$$

$$t = \frac{1}{g}\sqrt{\frac{h_0}{g}}(0.02831P^3 + 0.02163P^4 + 0.01896P^5 + 0.00981P^6 + 0.00563P^7 + 0.00328P^8 + 0.00186P^9) \quad \text{--- (2)}$$

ここで、 α : 波先端位置、 g : 重力加速度、 t : 時間、 a : 抵抗係数、 P : $P = 2 - \frac{1}{\sqrt{h_0}} \frac{da}{dt}$ で表現される $0 \leq P \leq 2$ のパラメータ。

(A)によると、本実験範囲内ではWhithamの考え方で波先端部の軌跡を非常によく追えることが判る。また、貯留水深により波先端部の抵抗係数が変化しており、従来の様に唯一の水路固有の抵抗係数で実験結果を整理することは許されないと判る。本実験からChézyの流速係数を計算すると $C_h = 88 \sim 99$ となり、従来の若干の整理例における C_h はこの範囲内に入っている、一応妥当な数値を選択していると言える。(B)は粒粗度を設置した場合の結果である。粒粗度がない場合に比べ、貯留水深が大きくなると先端部の挙動は若干不安定になっている。しかし、本実験範囲内ではWhithamの考え方で予測可能と言えよう。抵抗係数については、粒粗度がない場合と同様のことと言え、粒粗度が加わると結果分だけ大きくなっている。

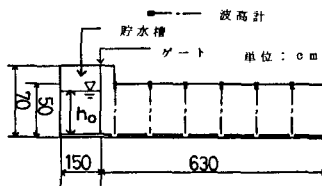
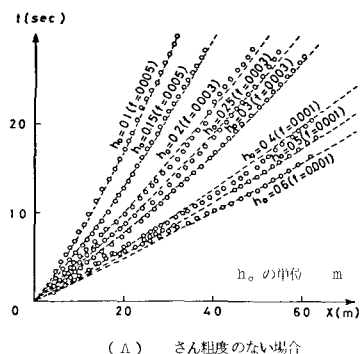
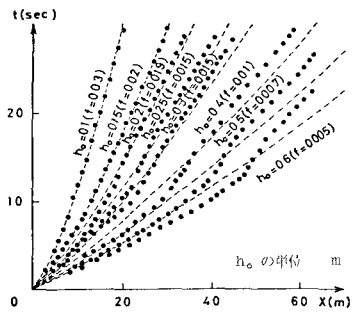


図-1 実験装置



(A) さん粗度のない場合



(B) さん粗度のある場合

図-2 波先端部の軌跡

3-2. 数値計算 本研究の数値計算の目的は Whitham の考え方による程度現象をシミュレートできるかを確認することにある。よって、支配方程式として浅水理論を用いる。但し、Whitham のいう先端部の境界層領域では摩擦項も考慮する。計算手法は特性曲線法である。ゲート位置を $x=0$ とすると波先端部の境界条件は(1)と(2)式から得られる曲線上で、
 $C = 0$ ガラ $U = \sqrt{gh_0}(2 - P)$ ————— (3)
 背後の境界条件は、負の波せ時水深後端に達するまでは、 $X = -\sqrt{h_0}$ 上で、
 $C = \sqrt{h_0}$ ガラ $U = 0$ ————— (4)
 後端に達した後は、 $X = -L_0$ 上で、
 $C = \frac{1}{2}\sqrt{h_0} + \frac{1}{2}P$ ガラ
 $U = 0$ —— (5) 但し、 $L_0 \geq \frac{L}{\sqrt{h_0}}$ 。ここで、 L_0 ：貯留長。

実験値と計算値の比較を図-3に示す。(A)は $X=0.3, 1.3$ と 2.3 mでの水深の時間波形である。同図中の一点鎖線は境界層の存在を肯定しない場合の計算値である。実線で囲まれた斜線部のみが Whitham のいう境界層領域でないところである。これによると、初期の波先端部付近の波形を除いて水流の厚さや水深の増・減といった定性的な傾向は Whitham の考え方でかなり再現できることが判る。(B)は $X=0.16$ mでの流速に関するもので、波形同様定性的にはかなり再現できることが判る。実験では波先端部通過初期の立ち上りがうまく得られないが、これは蓄着等の用いた電磁流速計の感度の鋭さによるものであると思われる。

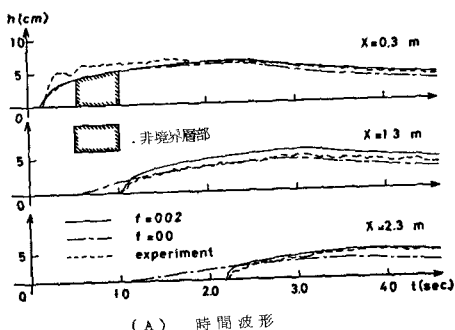
3-3 波先端部の抵抗係数 構造度がある場合の抵抗則について、定常式の条件のもとで足立²³がかなり統一的な実験的研究を行っている。足立によると、底面にのみ構造度がある二次元流の場合の抵抗則は次式で与えられる。

$$f = [1.50 \log_{10} H - 1.91 + (5.75 + 0.12 \frac{H}{K})^{0.8}] \frac{1}{\log_{10} \left(\frac{H}{K} \right)^2} ————— (6) \text{ 但し, } 8 < S/K < 160. \text{ ここで, } H: \text{水深.}$$

本研究にこの抵抗則を適用する際に生ずる問題は H の選択である。しかし、この領域の代表的水深はゲート位置での一定水深 h_0 に変配されるだろう。この点の水深と先端軌跡から求めた抵抗係数との関係を整理したものが図-4の黒丸で示されている。図-4の曲線は $S/K = 10$ の場合の(6)式に示す足立の実験式である。図-5は蓄着の相関をみたものである。因数はかなりよく一致しており、構造度の場合の Whitham の抵抗係数はゲートでの水深を境界層での代表水深と看玉すれば足立の実験式で評価し得ることがわかる。今後、この点については専一層の検討が必要であろう。

4. まずば Whitham の考え方における波先端部の抵抗係数は貯留水深によりけなり変化することが明らかとなり、本路固有の抵抗係数といった議論は許されない。特に、構造度を有するもののそれはゲートでの水深を境界層での代表水深とすることは足立の式によりかなりよく予測し得る可能性があることが判った。数値計算による再現は本東洋範囲内では Whitham の考え方でかなり可能であることが判った。

最後に、本研究の遂行にあたり東北大学工学部、山路弘人技官の多大なる助力を得た。記して感謝の意を表す。
 1) Whitham, G. B.: Proc. Royal Society, A, Vol. 227, pp. 379~807, 1955 2) 足立 昭平. 土木学会論文集
 108号, pp. 33~44, 1964.



(A) 時間波形

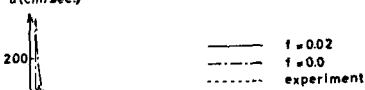


図-3 実験値と計算値の比較 ($h_0 = 0.15$ mの場合)

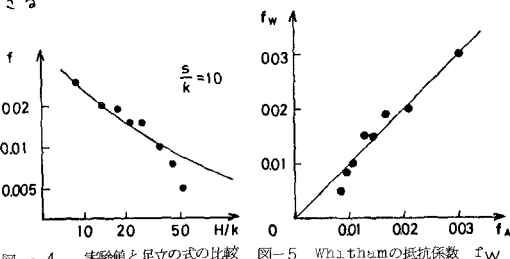


図-4 実験値と足立の式の比較

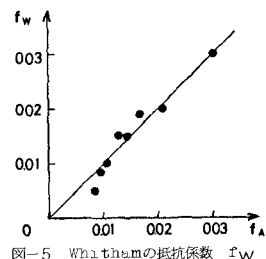


図-5 Whithamの抵抗係数 f_w と足立の抵抗係数 f_A の相関